

doi:10.3969/j.issn.1673-9833.2013.05.003

金刚石氮-空位中心 Bell 态的制备

王国友, 夏湘芳, 邓志宏, 陈光伟, 李玉珍

(湖南工业大学 理学院, 湖南 株洲 412007)

摘要: 利用基于微环谐振腔的单光子输入-输出过程, 从相距较远的2个金刚石氮-空位中心制备出 Bell 态。对制备过程做了详细的理论推导, 并就实现条件进行了讨论。

关键词: 金刚石氮-空位中心; Bell 态; 量子纠缠; 微环谐振腔

中图分类号: O413.2

文献标志码: A

文章编号: 1673-9833(2013)05-0009-04

Generation of Bell State Between Two Nitrogen-Vacancy Centers in Diamond

Wang Guoyou, Xia Xiangfang, Deng Zhihong, Chen Guangwei, Li Yuzhen

(School of Science, Hunan University of Technology, Zhuzhou Hunan 412007, China)

Abstract: By means of the input-output process of single photon with the microtoroidal resonators(MTRs), Bell state between two distant nitrogen-vacancy(N-V) centers in diamond is generated. The process is made theoretical derivation and the realization condition is discussed.

Keywords: diamond nitrogen-vacancy center; Bell state; quantum entanglement; microtoroidal resonator

0 引言

到目前为止, 实现量子信息处理和量子计算的物理体系包括: 离子阱、核磁共振、腔量子电动力学、量子点、超导约瑟夫森结体系和金刚石体系等^[1]。它们有各自的优缺点, 且存在物理机制上的差异性和量子化后描述的相似性。在室温下, 金刚石氮-空位(N-V)体系中的电子有稳定的自旋相干性和独特的微波可控的能级结构, 从而有望成为实现固态量子信息处理的候选系统之一^[2-4]。

量子纠缠是量子力学最迷人的特性之一, 它在量子测量和量子信息处理中扮演着不可或缺的角色。量子纠缠是量子信息处理中最重要的资源, 因此制备量子纠缠态显得尤为重要。近年来, 人们提出了

许多制备纠缠态的方案, 其中包括关于金刚石氮-空位中心纠缠态制备的理论方案^[5-9]。

本文利用1个飞行光子依次通过2个微环谐振腔, 来实现远距离金刚石氮-空位之间的纠缠^[10]。在文献[11]的基础上, 对2个金刚石氮-空位中心纠缠态的制备进行具体的理论推导, 并在此基础上使用局域么正操作, 得到量子信息处理中广泛应用的4个 Bell 态。

1 模型和理论

考虑2个全同的金刚石氮-空位中心 N-V1 和 N-V2, 它们分别固定在2个相距较远的微环谐振腔的外表面, 并与腔场通过渐进场耦合。2个微环谐振腔

收稿日期: 2013-08-10

基金项目: 湖南省教育厅科学研究基金资助项目(13C039), 湖南工业大学教学改革基金资助项目(2011D45)

作者简介: 王国友(1974-), 男, 湖南隆回人, 湖南工业大学讲师, 湖南师范大学博士生, 主要研究方向为量子光学和量子信息, E-mail: gywang04@163.com

则与光纤通过渐近场耦合。利用单个飞行光子脉冲依次对微环谐振腔的输入-输出过程以及光子态的测量,来制备2个金刚石氮-空位中心的量子纠缠。量子比特编码在子能级 $|\pm 1\rangle, |A_2\rangle$ 能级作为辅助态^[12]。研究系统如图1所示。

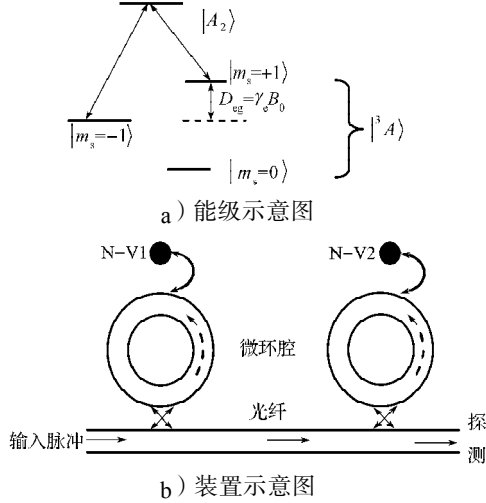


图1 研究系统示意图

Fig. 1 Schematic of the physical research system

在频率为 ω_p 的入射场旋转框架下,体系的哈密顿量为

$$H = (\omega_c - \omega_p)a^\dagger a + \left(\frac{\omega_0 - \omega_p}{2}\right)\sigma_z + i\Omega(a\sigma_+ - a^\dagger\sigma_-), \quad (1)$$

式中: a, a^\dagger 分别是频率为 ω_c 的腔场湮灭和产生算符;

$\sigma_z, \sigma_+, \sigma_-$ 分别是本征频率为 ω_0 的二能级原子的布居数算符、上升算符和下降算符;

Ω 是腔与单个金刚石氮-空位中心的耦合强度。

腔场和金刚石氮-空位中心的下降算符满足的量子朗之万运动方程^[13], 分别为:

$$\frac{da}{dt} = -\left(i(\omega_c - \omega_p) + \kappa/2\right)a - \Omega\sigma_- - \sqrt{\kappa}a_i, \quad (2)$$

$$\frac{d\sigma_-}{dt} = -\left(i(\omega_0 - \omega_p) + \gamma/2\right)\sigma_- - \Omega a\sigma_z. \quad (3)$$

式(2)~(3)中: κ 是腔场的衰减速率;

a_i 为腔场的输入场;

γ 为金刚石氮-空位中心的自发辐射速率。

腔场的输入场 a_i 和输出场 a_o 之间的关系^[13]是

$$a_o = a_i + \sqrt{\kappa}a. \quad (4)$$

为求稳态解,假设输入光子脉冲非常弱,从而金刚石氮-空位中心一直处于基态 $|-1\rangle$ 而不被激发,即弱激发近似 $\langle\sigma_z\rangle = -1$, 故有

$$\sigma_- = \frac{\Omega}{i(\omega_0 - \omega_p) + \gamma/2} a_o. \quad (5)$$

另一方面,从方程(2)和方程(3)可得腔场的定态解

$$a_i = \frac{-\left(i(\omega_c - \omega_p) + \kappa/2\right)\left(i(\omega_0 - \omega_p) + \gamma/2\right) + \Omega^2}{\sqrt{\kappa}\left(i(\omega_0 - \omega_p) + \gamma/2\right)} a_o. \quad (6)$$

结合腔场的输入-输出关系,可得光子的反射系数 $r(\omega_p)$ ^[14]为

$$r(\omega_p) = \frac{\langle a_o \rangle}{\langle a_i \rangle} = \frac{\left(i(\omega_c - \omega_p) - \kappa/2\right)\left(i(\omega_0 - \omega_p) + \gamma/2\right) + \Omega^2}{\left(i(\omega_c - \omega_p) + \kappa/2\right)\left(i(\omega_0 - \omega_p) + \gamma/2\right) + \Omega^2}, \quad (7)$$

式中 $\langle a_i \rangle, \langle a_o \rangle$ 分别表示 a_i 和 a_o 的平均值。

在原子与腔场共振的情况下 $\omega_c = \omega_p = \omega_0$, 反射系数简化为

$$r(\omega_p) = \frac{-\kappa\gamma/4 + \Omega^2}{\kappa\gamma/4 + \Omega^2}. \quad (8)$$

对于左旋圆偏振光,金刚石氮-空位中心与腔场无相互作用($\Omega = 0$),则光子态的演化为

$$\begin{cases} |\psi_o\rangle = r(\omega_p)|\psi_i\rangle = r(\omega_p)|L\rangle = -|L\rangle, \\ |\psi_o\rangle = r(\omega_p)|\psi_i\rangle = r(\omega_p)|R\rangle = -|R\rangle, \end{cases} \quad (9)$$

式中: $|\psi_i\rangle$ 和 $|\psi_o\rangle$ 分别表示光子的输入态和输出态;

$|L\rangle$ 和 $|R\rangle$ 分别表示光子的左旋偏振态和右旋偏振态。

对于右旋圆偏振光,考虑金刚石氮-空位中心与腔场强耦合($\Omega \gg \sqrt{\kappa\gamma}/2$),则光子态的演化为

$$\begin{cases} |\psi_o\rangle = r(\omega_p)|\psi_i\rangle = r(\omega_p)|L\rangle = -|L\rangle, \\ |\psi_o\rangle = r(\omega_p)|\psi_i\rangle = r(\omega_p)|R\rangle = |R\rangle. \end{cases} \quad (10)$$

假设2个金刚石氮-空位中心的初态 $|\psi_1\rangle$ 和 $|\psi_2\rangle$ 分别为:

$$|\psi_1\rangle = \alpha_1|+1\rangle_1 + \beta_1|-1\rangle_1, \quad (11)$$

$$|\psi_2\rangle = \alpha_2|+1\rangle_2 + \beta_2|-1\rangle_2, \quad (12)$$

式中 $\alpha_i, \beta_i (i=1, 2)$ 是归一化复系数。

输入单光子脉冲为线偏振光

$$|\psi_i\rangle = (|R\rangle + |L\rangle)/\sqrt{2}. \quad (13)$$

根据方程(9)和(10),可得金刚石氮-空位中心和光子体系的演化为:

$$|\psi\rangle_i = |+1\rangle(|R\rangle + |L\rangle) \rightarrow |\psi\rangle_f = -|+1\rangle(|R\rangle + |L\rangle), \quad (14)$$

$$|\psi\rangle_i = |-1\rangle(|R\rangle + |L\rangle) \rightarrow |\psi\rangle_f = |-1\rangle(|R\rangle - |L\rangle), \quad (15)$$

式中 $|\psi\rangle_i$ 和 $|\psi\rangle_f$ 分别表示金刚石氮-空位中心和光子体系的初始态和末态。

因此可得整个体系的末态

$$\begin{aligned}
|\psi_1\rangle_r &= \frac{1}{\sqrt{2}}(|R\rangle+|L\rangle)\otimes \\
&\quad (\alpha_1\alpha_2|+1\rangle_1|+1\rangle_2 + \beta_1\beta_2|-1\rangle_1|-1\rangle_2) - \\
&\quad \frac{1}{\sqrt{2}}(|R\rangle-|L\rangle)\otimes \\
&\quad (\alpha_1\beta_2|+1\rangle_1|-1\rangle_2 + \alpha_2\beta_1|-1\rangle_1|+1\rangle_2). \quad (16)
\end{aligned}$$

由方程(16)可知, 只要探测输出光子的偏振态就能在2个金刚石氮-空位中心之间产生纠缠。

如果输出的光子处于水平偏振

$$|\psi_o\rangle = -\frac{1}{\sqrt{2}}(|R\rangle-|L\rangle),$$

则2个金刚石氮-空位中心的量子态

$$|\phi_{12}\rangle = (\alpha_1\beta_2|+1\rangle_1|-1\rangle_2 + \alpha_2\beta_1|-1\rangle_1|+1\rangle_2)/N_1, \quad (17)$$

式中 N_1 是归一化常数。

如果输出的光子处于垂直偏振

$$|\psi_o\rangle = \frac{1}{\sqrt{2}}(|R\rangle+|L\rangle),$$

则2个金刚石氮-空位中心的量子态

$$|\phi_{12}\rangle = (\alpha_1\alpha_2|+1\rangle_1|+1\rangle_2 + \beta_1\beta_2|-1\rangle_1|-1\rangle_2)/N_2, \quad (18)$$

式中 N_2 是归一化常数。

更进一步, 如果假设金刚石氮-空位中心的初态满足

$$\alpha_1 = \beta_1 = \alpha_2 = \beta_2 = N_1 = N_2 = \frac{1}{\sqrt{2}}, \quad (19)$$

则方程(17)和(18)的纠缠态就变成2个 Bell 态:

$$|\phi_{12}^+\rangle = \frac{1}{\sqrt{2}}(|+1\rangle_1|-1\rangle_2 + |-1\rangle_1|+1\rangle_2), \quad (20)$$

$$|\phi_{12}^-\rangle = \frac{1}{\sqrt{2}}(|+1\rangle_1|+1\rangle_2 + |-1\rangle_1|-1\rangle_2). \quad (21)$$

对式(20)和(21)中的态使用局域么正操作(设对金刚石氮-空位中心 N-V1 作 σ_z 操作), 则可以得到另外2个 Bell 态:

$$|\phi_{12}^-\rangle = \frac{1}{\sqrt{2}}(|-1\rangle_1|+1\rangle_2 - |+1\rangle_1|-1\rangle_2), \quad (22)$$

$$|\phi_{12}^-\rangle = \frac{1}{\sqrt{2}}(|-1\rangle_1|-1\rangle_2 - |+1\rangle_1|+1\rangle_2). \quad (23)$$

只要能够得到 $|\phi_{12}^+\rangle$ 和 $|\phi_{12}^-\rangle$ 中的任意一个态, 就可使用局域么正操作 (σ_z 和 σ_x) 来获得想要的任何一个 Bell 态。

2 讨论

本文介绍了以基于光纤的飞行光子为媒介, 使2个与微环共振腔耦合的空间分离的金刚石氮-空位中心纠缠起来的理论模型。由于这种制备纠缠的方

法是通过单光子飞过微环腔来实现, 因此可以用来构建量子网络, 从而具有广阔的应用前景。然而, 要完成这些任务依赖于金刚石氮-空位中心和微环共振腔的品质^[11]。以目前的技术, 很难做到所要求的2个全同的金刚石氮-空位中心, 也难于保证金刚石氮-空位中心处于低应力下, 以确保所用构建量子比特的能级保持稳定^[11]。除此之外, 还有许多其他不可控因素致使金刚石氮-空位中心的相干耦合率偏低^[15]。虽然这个方案在本质上是决定性的^[11], 但在真正的实验中, 由于腔镜的吸收和散射, 光纤吸收, 探测器的无效操作和光子的损失等, 都不可避免地不同程度上影响它的成功率。

3 结语

本文利用一个飞行光子对2个固定于微环腔外表面远距离的金刚石氮-空位中心实现了纠缠, 得到了所需的 Bell 态。虽然根据现有实验条件还难以得到纠缠态, 但从理论上可以实现。这对深入研究金刚石氮-空位中心与腔场之间的相互作用及制备纠缠态, 特别是制备有重要应用的 Bell 态, 具有一定的理论意义。

参考文献:

- [1] Nielsen M A, Chuang I L. Quantum Computation and Quantum Information[M]. Cambridge: Cambridge University Press, 2000: 277-349.
- [2] Neumann P, Mizuochi N, Rempp F, et al. Multiparticle Entanglement Among Single Spins in Diamond[J]. Science, 2008, 320(5881): 1326-1329.
- [3] Jelezko F, Gaebel T, Popa I, et al. Observation of Coherent Oscillation of a Single Nuclear Spin and Realization of a Two-Qubit Conditional Quantum Gate[J]. Physical Review Letters, 2004, 93(13): 130501.
- [4] Benjamin S C, Lovett B W, Smith J M. Prospects for Measurement-Based Quantum Computing with Solid State Spins[J]. Laser & Photonics Reviews, 2009, 3(6): 556-574.
- [5] Xu Z Y, Hu Y M, Yang W L, et al. Deterministically Entangling Distant Nitrogen-Vacancy Centers by a Nanomechanical Cantilever[J]. Phys. Rev. A, 2009, 80(2): 022335.
- [6] Rabl P, Kolkowitz S J, Koppens F H L, et al. A Quantum Spin Transducer Based on Nanoelectromechanical Resonator Arrays[J]. Nature Physics, 2010, 6(8): 602-608.
- [7] Barrett S D, Kok P. Efficient High-Fidelity Quantum Computation Using Matter Qubits and Linear Optics[J].

- Phys. Rev. A, 2005, 71(6) : 060310.
- [8] Lim Y L, Beige A, Kwek L C. Repeat-Until-Success Linear Optics Distributed Quantum Computing[J]. Physical Review Letters, 2005, 95(3) : 030505.
- [9] Yang W L, Yin Z Q, Xu Z Y, et al. One-Step Implementation of Multiqubit Conditional Phase Gating with Nitrogen-Vacancy Centers Coupled to a High-Q Silica Microsphere Cavity[J]. Applied Physics Letters, 2010, 96(24) : 241113.
- [10] An J H, Feng M, Oh C H. Quantum-Information Processing with a Single Photon by an Input-Output Process with Respect to Low-Q Cavities[J]. Phys. Rev. A, 2009, 79(3) : 032303.
- [11] Chen Q, Yang W L, Feng M, et al. Entangling Separate Nitrogen-Vacancy Centers in a Scalable Fashion via Coupling to Microtoroidal Resonators[J]. Phys. Rev. A, 2011, 83(5) : 054305.
- [12] Togan E, Chu Y, Trifonov A S, et al. Quantum Entanglement Between an Optical Photon and a Solid-State Spin Qubit[J]. Nature, 2010, 466(7307) : 730-734.
- [13] Walls D F, Milburn G J. Quantum Optics[M]. Berlin: Springer Verlag, 1994: 121-135.
- [14] Hu C Y, Young A, O'Brien J L, et al. Giant Optical Faraday Rotation Induced by a Single-Electron Spin in a Quantum Dot: Applications to Entangling Remote Spins via a Single Photon[J]. Phys. Rev. B, 2008, 78(8) : 085307.
- [15] Barclay P E, Santori C, Fu K M, et al. Coherent Interference Effects in a Nano-Assembled Diamond NV Center Cavity-QED System[J]. Optics Express, 2009, 17(10) : 8081-8097.

(责任编辑: 邓光辉)

(上接第8页)

- Numbers Based on the Method of Structured Element[J]. Systems Engineering-Theory & Practice, 2009, 29(3) : 106-111.
- [11] 赵海坤, 郭嗣琮. 全系数模糊两层线性规划[J]. 模糊系统与数学, 2010, 24(3) : 98-106.
Zhao Haikun, Guo Sizong. Bi-Level Linear Programming with All-Coefficient-Fuzzy[J]. Fuzzy Systems and Mathematics, 2010, 24(3) : 98-106.
- [12] 刘海涛, 郭嗣琮. 基于结构元方法的变量模糊的线性规划[J]. 系统工程理论与实践, 2008, 28(6) : 94-99.
Liu Haitao, Guo Sizong. Fuzzy Linear Programming with Fuzzy Variables Based on Structured Element Method[J]. Systems Engineering-Theory & Practice, 2008, 28(6) : 94-99.
- [13] 邓胜岳, 成央金, 马宗刚. 二层多随从线性规划的几何性质和最优化条件[J]. 湖南工业大学学报, 2008, 22(6) : 6-9.
Deng Shengyue, Cheng Yangjin, Ma Zonggang. Geometric Properties and Optimality Conditions for Linear Bilevel Programming Problem with Multiple Followers[J]. Journal of Hunan University of Technology, 2008, 22(6) : 6-9.
- [14] 付永红, 杜纲. 具有模糊系数的两层线性规划[J]. 管理科学学报, 1999, 2(1) : 42-49.
Fu Yonghong, Du Gang. Bilevel Linear Programming with Fuzzy Coefficients[J]. Journal of Management Science in China, 1999, 2(1) : 42-49.

(责任编辑: 邓光辉)